

Тиристор лавинный ТЛ271-250



Средний прямой ток		I_{TAV}	250 А				
Повторяющееся импульсное напряжение в закрытом состоянии		U_{DRM}	600÷1200 В				
Повторяющееся импульсное обратное напряжение		U_{RRM}					
Время выключения		t_q	160 мкс				
U_{DRM}, U_{RRM} , В	600	700	800	900	1000	1100	1200
Класс по напряжению	6	7	8	9	10	11	12
T_b , °C				-60÷140			

ПРЕДЕЛЬНО ДОПУСТИМЫЕ ЗНАЧЕНИЯ ПАРАМЕТРОВ

Обозначение и наименование параметра		Ед. изм.	Значение	Условия измерения	
Параметры в проводящем состоянии					
I_{TAV}	Средний ток в открытом состоянии	А	250 294	$T_c=107^{\circ}\text{C};$ $T_c=100^{\circ}\text{C};$ 180 эл. град. синус; 50 Гц	
I_{TAMS}	Действующий ток в открытом состоянии	А	393	$T_c=107^{\circ}\text{C};$ 180 эл. град. синус; 50 Гц	
I_{TM}	Ударный ток в открытом состоянии	кА	8.0 9.0	$T_j=T_{j\max}$ $T_j=25^{\circ}\text{C}$	180 эл. град. синус; $t_p=10$ мс; единичный импульс; $U_0=U_R=0$ В; Импульс управления: $I_G=2$ А; $t_{Gp}=50$ мкс; $di_G/dt \geq 1$ А/мкс
			8.5 10.0	$T_j=T_{j\max}$ $T_j=25^{\circ}\text{C}$	180 эл. град. синус; $t_p=8.3$ мс; единичный импульс; $U_0=U_R=0$ В; Импульс управления: $I_G=2$ А; $t_{Gp}=50$ мкс; $di_G/dt \geq 1$ А/мкс
I^2t	Защитный фактор	$\text{A}^2 \times 10^3$	320 400	$T_j=T_{j\max}$ $T_j=25^{\circ}\text{C}$	180 эл. град. синус; $t_p=10$ мс; единичный импульс; $U_0=U_R=0$ В; Импульс управления: $I_G=2$ А; $t_{Gp}=50$ мкс; $di_G/dt \geq 1$ А/мкс
			290 410	$T_j=T_{j\max}$ $T_j=25^{\circ}\text{C}$	180 эл. град. синус; $t_p=8.3$ мс; единичный импульс; $U_0=U_R=0$ В; Импульс управления: $I_G=2$ А; $t_{Gp}=50$ мкс; $di_G/dt \geq 1$ А/мкс

Блокирующие параметры					
U_{DRM} , U_{RRM}	Повторяющееся импульсное обратное напряжение и повторяющееся импульсное напряжение в закрытом состоянии	V	600÷1200	$T_{j,\min} < T_j < T_{j,\max}$ 180 эл. град. синус; 50 Гц; управление разомкнуто	
U_{DSM} , U_{RSM}	Неповторяющееся импульсное обратное напряжение и неповторяющееся импульсное напряжение в закрытом состоянии	V	700÷1300	$T_{j,\min} < T_j < T_{j,\max}$ 180 эл. град. синус; единичный импульс; управление разомкнуто	
$U_{(\text{BR})}$	Пробивное обратное напряжение	V	850÷1700	$T_{j,\min} < T_j < T_{j,\max}$; $I_{\text{RRM}} = 100 \text{ mA}$; 180 эл. град. синус; единичный импульс; управление разомкнуто	
U_0 , U_R	Постоянное обратное и постоянное прямое напряжение	V	$0.6 U_{\text{DRM}}$ $0.6 U_{\text{RRM}}$	$T_j = T_{j,\max}$ управление разомкнуто	
P_{RSM}	Ударная обратная рассеиваемая мощность	kВт	16	$T_j = T_{j,\max}$; $t_p = 100 \text{ мкс}$; 180 эл. град. синус; единичный импульс	
Параметры управления					
I_{FGM}	Максимальный прямой ток управления	A	6	$T_j = T_{j,\max}$	
U_{ROM}	Максимальное обратное напряжение управления	V	5		
P_G	Максимальная рассеиваемая мощность по управлению	Вт	3		$T_j = T_{j,\max}$ для постоянного тока управления
Параметры переключения					
$(di_G/dt)_{\text{crit}}$	Критическая скорость нарастания тока в открытом состоянии ($f=1 \text{ Hz}$)	A/мкс	800	$T_j = T_{j,\max}$; $U_0 = 0.67 U_{\text{DRM}}$; $I_{\text{TM}} = 3000 \text{ A}$ Импульс управления: $I_G = 2 \text{ A}$; $t_{GP} = 50 \text{ мкс}$; $di_G/dt \geq 2 \text{ A}/\text{мкс}$	
Тепловые параметры					
T_{slg}	Температура хранения	°C	-60÷50		
T_j	Температура р-п перехода	°C	-60÷140		
Механические параметры					
M	Крутящий момент затяжки	Нм	25÷35		
a	Ускорение	м/с ²	100		

ХАРАКТЕРИСТИКИ

Обозначение и наименование характеристики		Ед. изм.	Значение	Условия измерения
Характеристики в проводящем состоянии				
U_{TM}	Импульсное напряжение в открытом состоянии, макс	V	1.60	$T_j = 25 \text{ }^{\circ}\text{C}$; $I_{\text{TM}} = 785 \text{ A}$
$U_{\text{T(GO)}}$	Пороговое напряжение, макс	V	1.045	$T_j = T_{j,\max}$
r_T	Динамическое сопротивление в открытом состоянии, макс	мОм	0.767	
I_L	Ток включения, макс	mA	700	$T_j = 25 \text{ }^{\circ}\text{C}$; $U_0 = 12 \text{ V}$; Импульс управления: $I_G = 2 \text{ A}$; $t_{GP} = 50 \text{ мкс}$; $di_G/dt \geq 1 \text{ A}/\text{мкс}$
I_h	Ток удержания, макс	mA	300	$T_j = 25 \text{ }^{\circ}\text{C}$; $U_0 = 12 \text{ V}$; управление разомкнуто
Блокирующие характеристики				
I_{DRM} , I_{RRM}	Повторяющийся импульсный обратный ток и повторяющийся импульсный ток в закрытом состоянии, макс	mA	35	$T_j = T_{j,\max}$; $U_0 = U_{\text{DRM}}$; $U_R = U_{\text{RRM}}$
$(du_G/dt)_{\text{crit}}$	Критическая скорость нарастания напряжения в закрытом состоянии ¹⁾ , мин	V/мкс	320 500 1000	$T_j = T_{j,\max}$; $U_0 = 0.67 U_{\text{DRM}}$; управление разомкнуто

Характеристики управления

U_{GT}	Отпирающее постоянное напряжение управления, макс	V	3.00 2.50 1.50	$T_j = T_{j\min}$ $T_j = 25^\circ C$ $T_j = T_{j\max}$	$U_D = 12 V; I_D = 3 A;$ Постоянный ток управления
I_{GT}	Отпирающий постоянный ток управления, макс	mA	400 250 150	$T_j = T_{j\min}$ $T_j = 25^\circ C$ $T_j = T_{j\max}$	
U_{GO}	Неотпирающее постоянное напряжение управления, мин	V	0.60	$T_j = T_{j\max}$	$U_D = 0.67 \cdot U_{DRM};$
I_{GO}	Неотпирающий постоянный ток управления, мин	mA	30.00		Постоянный ток управления

Динамические характеристики

t_{gd}	Время задержки включения, макс	мкс	1.25	$T_j = 25^\circ C; U_D = 600 V; I_{TM} = I_{TAV};$ $di/dt = 200 A/\mu s;$
t_{gf}	Время включения, макс	мкс	4.00	Импульс управления: $I_G = 2 A; U_G = 20 V;$ $t_{GP} = 50 \mu s; di_G/dt = 2 A/\mu s$
t_q	Время выключения, макс	мкс	160	$du_D/dt = 50 V/\mu s; T_j = T_{j\max}; I_{TM} = I_{TAV};$ $di_R/dt = -10 A/\mu s; U_R = 100 V;$ $U_D = 0.67 \cdot U_{DRM};$
Q_{IT}	Заряд обратного восстановления, макс	мкКл	490	$T_j = T_{j\max}; I_{TM} = 250 A;$
t_{rr}	Время обратного восстановления, макс	мкс	13.0	$di_R/dt = -10 A/\mu s;$ $U_R = 100 V$
I_{eM}	Ток обратного восстановления, макс	A	75.0	

Тепловые характеристики

R_{thJC}	Тепловое сопротивление р-п переход-корпус, макс	$^\circ C/W$	0.0850	Постоянный ток
------------	---	--------------	--------	----------------

Механические характеристики

w	Масса, макс	г	440	
D_s	Длина пути тока утечки по поверхности	мм (дюйм)	12.4 (4.882)	
D_a	Длина пути тока утечки по воздуху	мм (дюйм)	12.4 (4.882)	

МАРКИРОВКА

ТЛ	271	250	12	A2	T2	УХЛ2
1	2	3	4	5	6	7

- Низкочастотный тиристор
- Конструктивное исполнение
- Средний ток в открытом состоянии, A
- Класс по напряжению
- Критическая скорость нарастания напряжения в закрытом состоянии, В/мкс
- Группа по времени выключения ($du_C/dt = 50 V/\mu s$)
- Климатическое исполнение по ГОСТ 15150: УХЛ2, Т2

ПРИМЕЧАНИЕ

1) Критическая скорость нарастания напряжения в закрытом состоянии

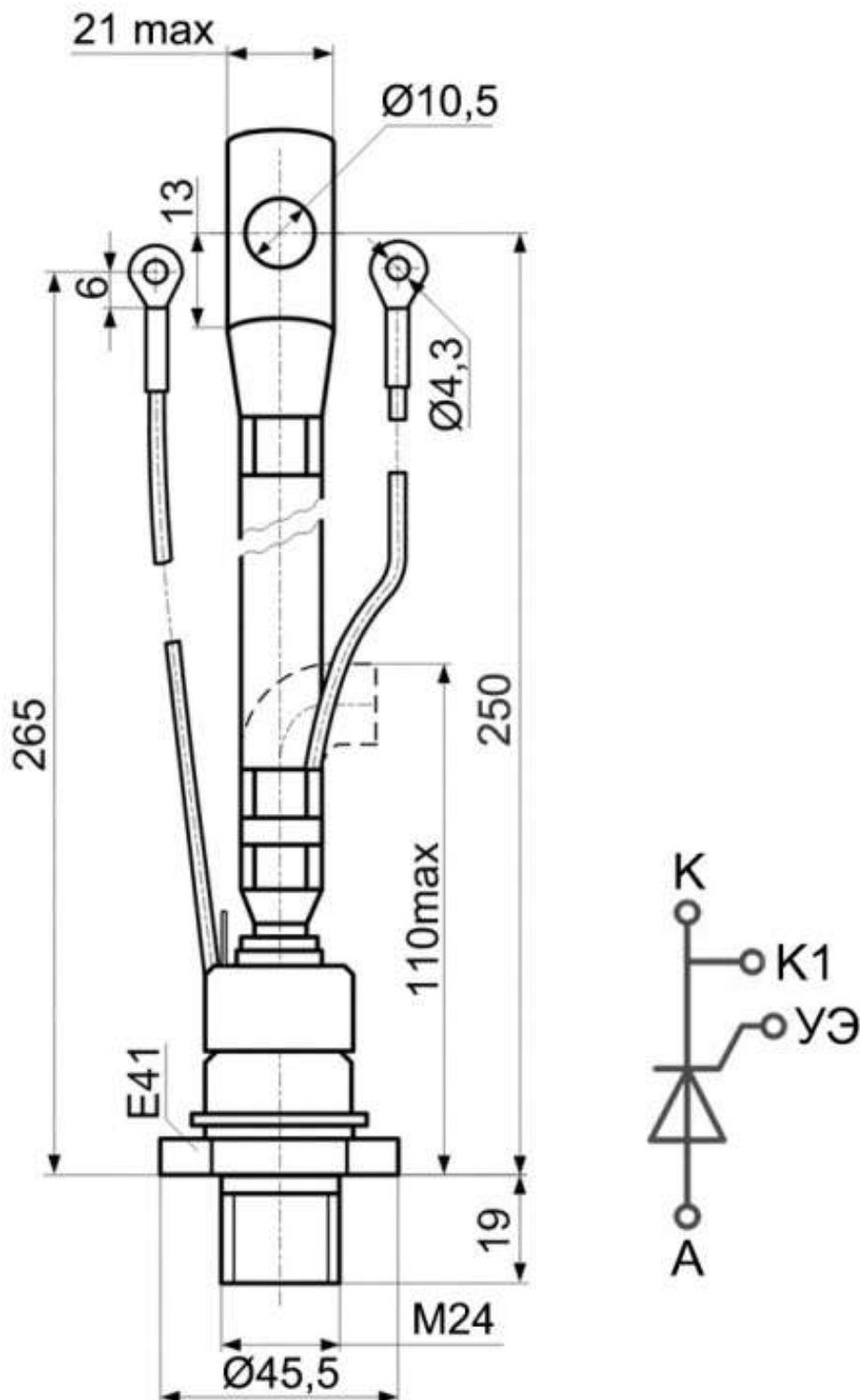
Обозначение группы	K2	E2	A2
$ dV_0/dt _{crit} V/\mu s$	320	500	1000

2) Время выключения ($du_D/dt = 50 V/\mu s$)

Обозначение группы	T2
$t_{op} \mu s$	160

ГАБАРИТНЫЕ РАЗМЕРЫ

Тип корпуса: ST7, T.SB1



К – катод;

Все размеры в миллиметрах

А – анод;

К1 – вспомогательный катод;

УЭ – управляющий электрод;

Тип Резьбы	W	H
Метрическая резьба Тип С	M24x1,5 – 8g	19
Метрическая резьба Тип В (по требованию)	M20x1,5 – 8g	15

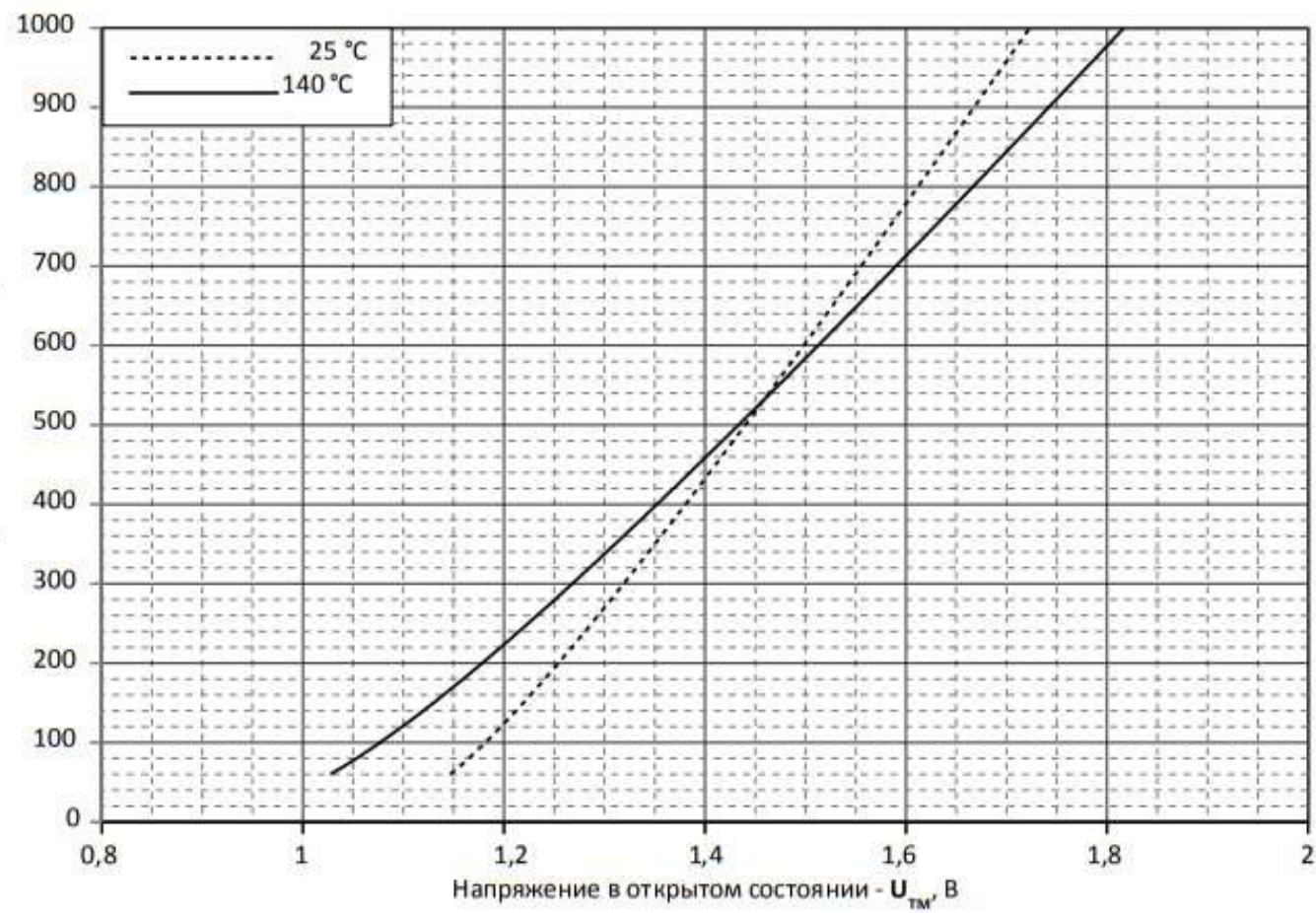


Рис. 1 – Предельная вольт – амперная характеристика

Аналитическая функция предельной вольт – амперной характеристики:

$$V_T = A + B \cdot i_T + C \cdot \ln(i_T + 1) + D \cdot \sqrt{i_T}$$

	Коэффициенты для графика	
	$T_j = 25^\circ\text{C}$	$T_j = T_{j,\max}$
A	1.02210000	0.84109000
B	0.00049149	0.00065132
C	0.01813500	0.02799300
D	0.00266230	0.00414390

Модель предельной вольт – амперной характеристики (см. Рис. 1)

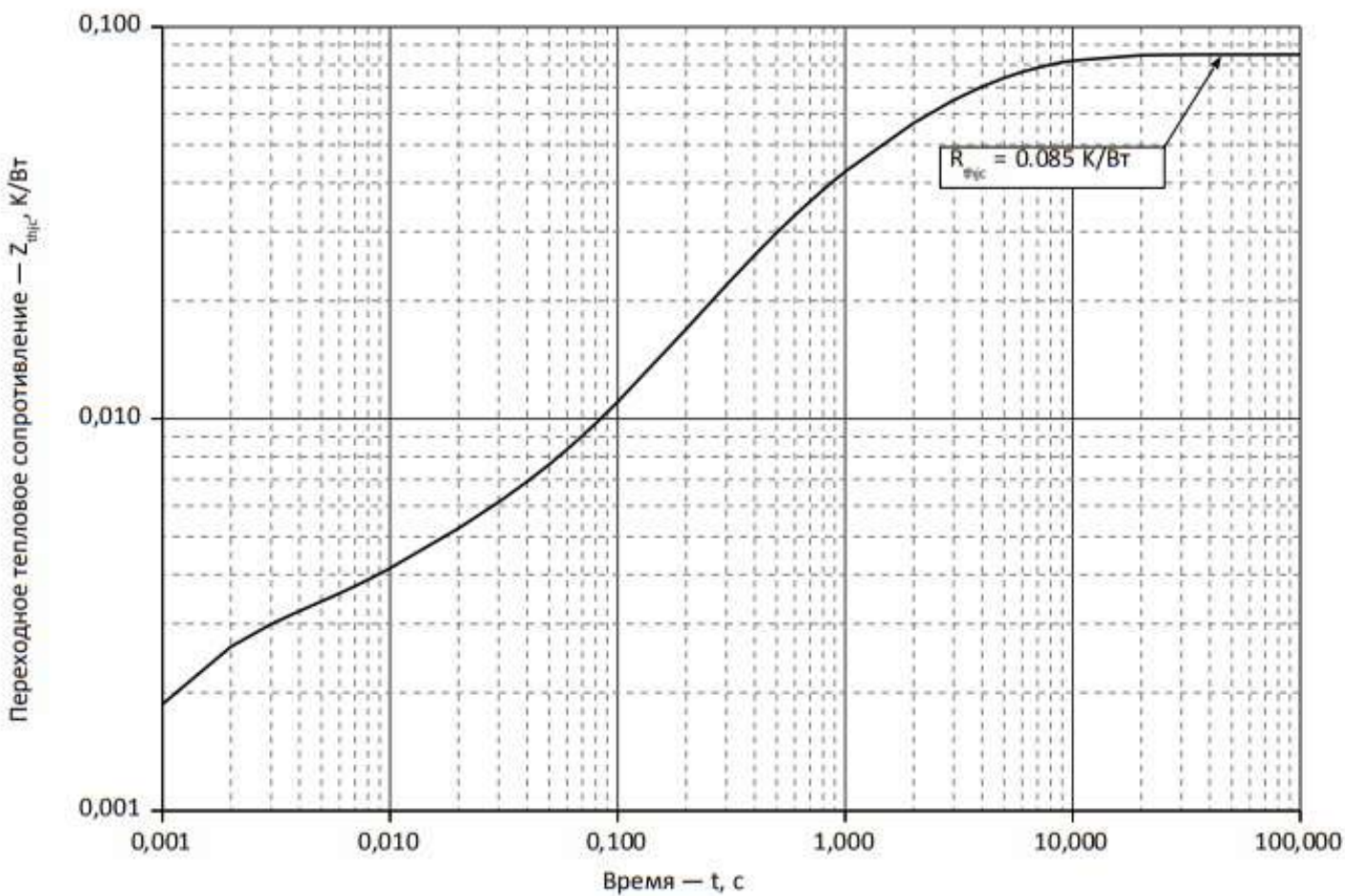


Рис. 2 – Зависимость переходного теплового сопротивления Z_{thjc} от времени t

Аналитическая зависимость переходного теплового сопротивления переход — корпус:

$$Z_{thjc} = \sum_{i=1}^n R_i \left(1 - e^{-\frac{t}{t_i}} \right)$$

Где $i = 1$ to n , n – число суммирующихся элементов.

t = продолжительность импульсного нагрева в секундах. $Z_{thjc} =$

Тепловое сопротивление за время t .

R_i, t_i = расчетные коэффициенты, приведенные в таблице.

Постоянный ток

i	1	2	3	4	5	6
$R_i, K/W$	0.023357	0.02733	0.01495	0.001445	0.002488	0.01543
t_i, s	4.627	2.249	0.3406	0.01043	0.0009112	0.9081

Модель переходного теплового сопротивления переход - корпус (см. Рис. 2)

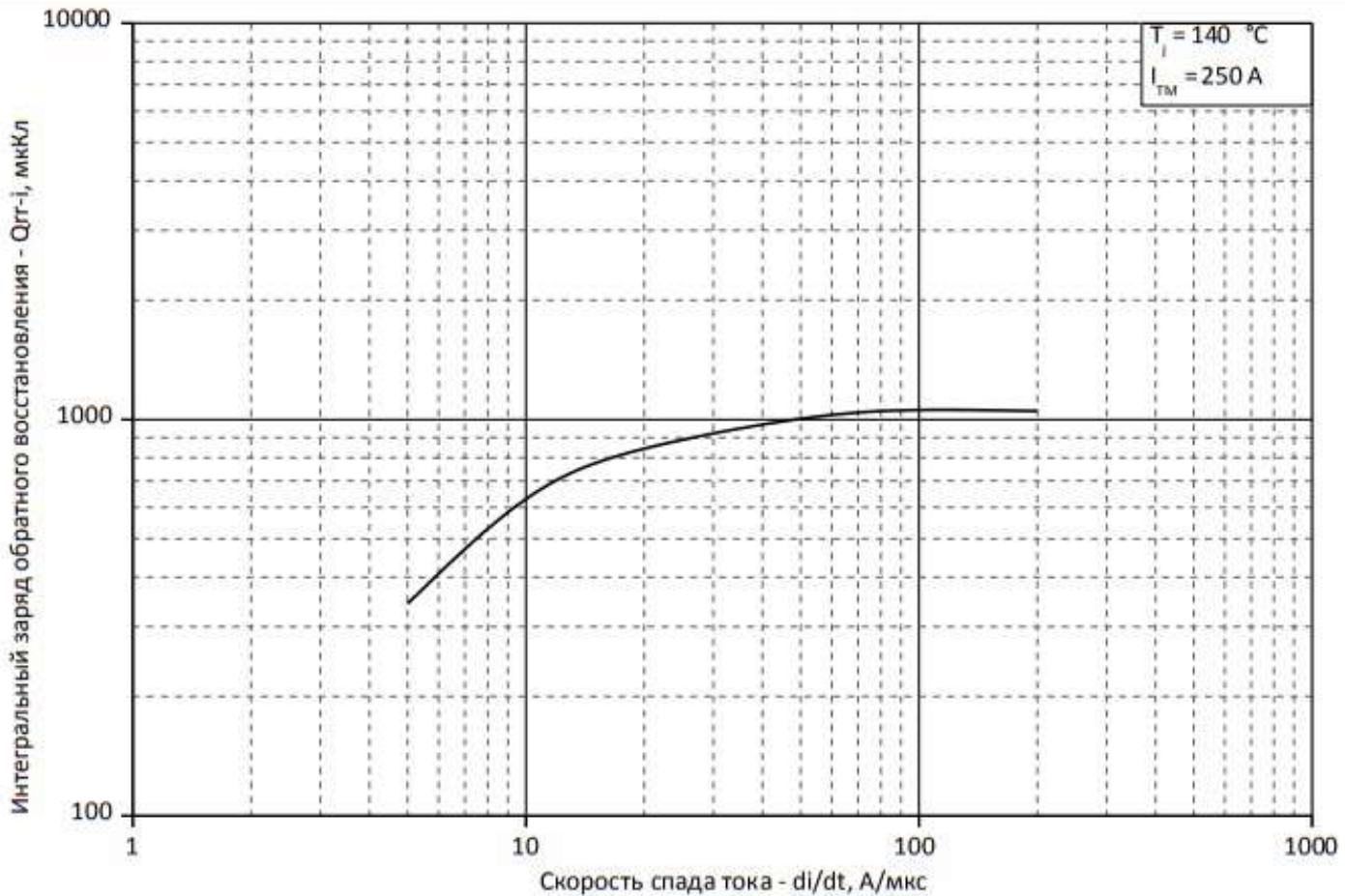


Рис. 3 – Зависимость максимального интегрального заряда обратного восстановления Q_{rr-i} от скорости спада тока di_r/dt в открытом состоянии

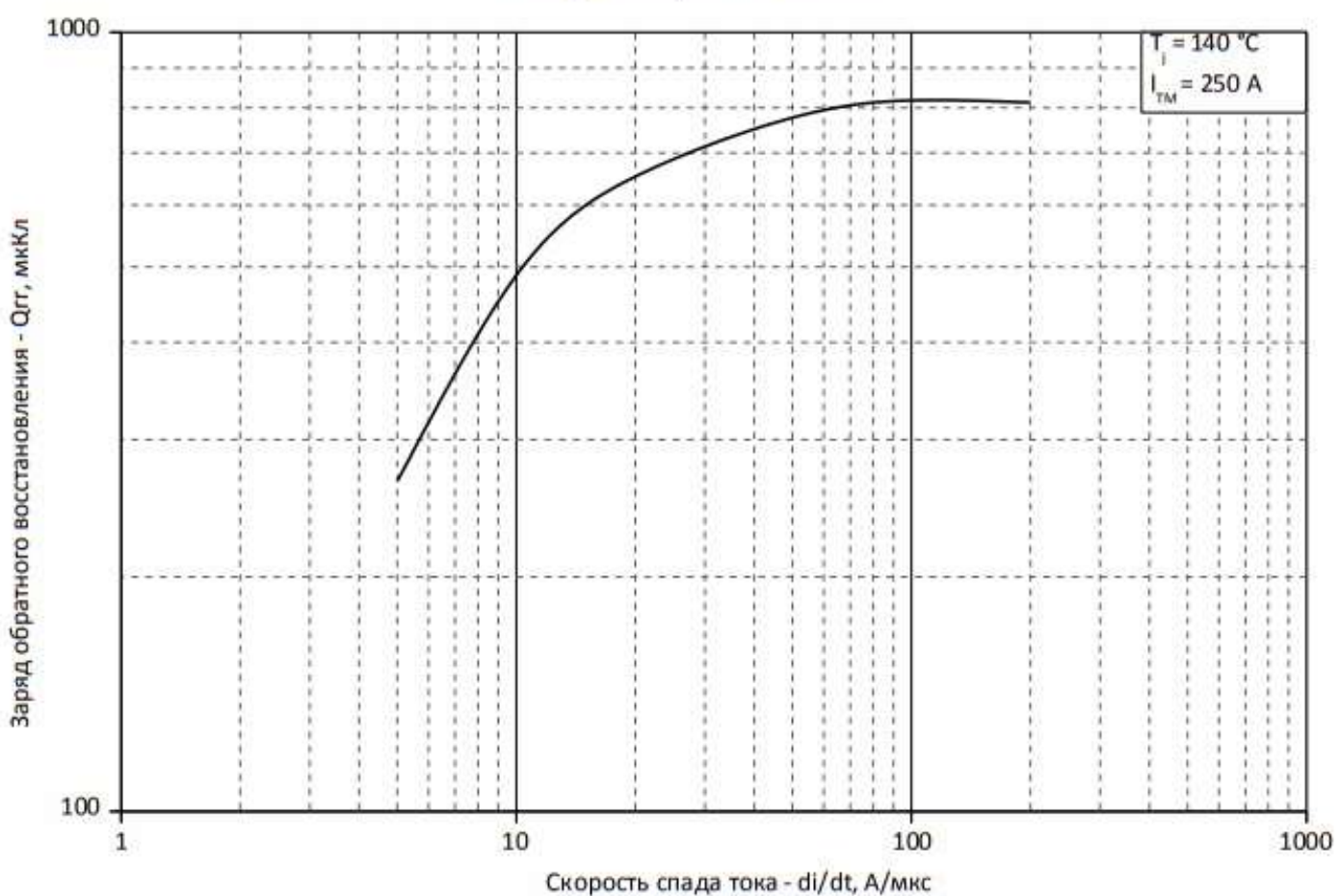


Рис. 4 – Зависимость максимального заряда обратного восстановления Q_{rr} от скорости спада тока di_r/dt (по ГОСТ 24461, хорда 25%) в открытом состоянии

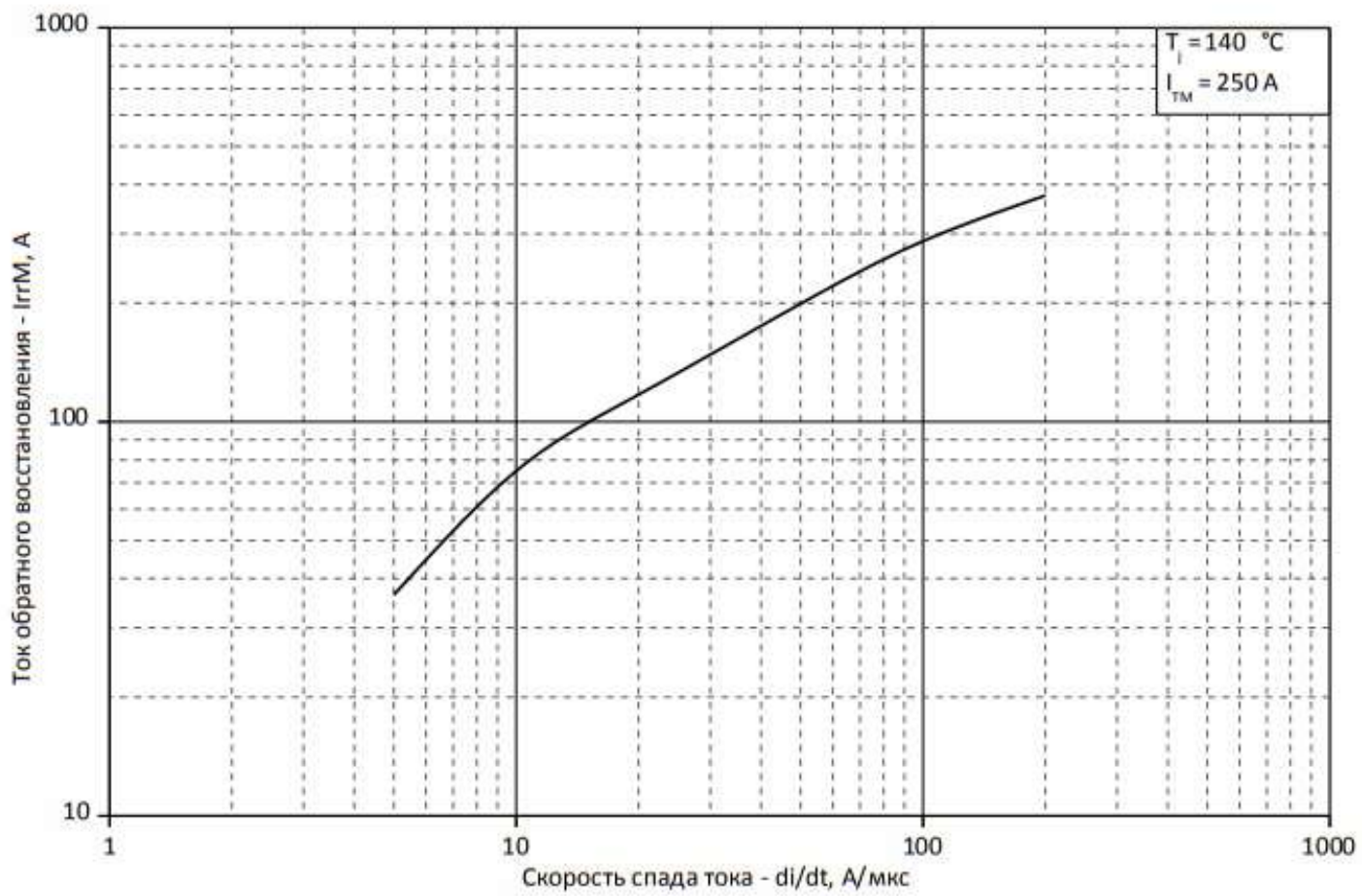


Рис. 5 – Зависимость максимального тока обратного восстановления I_{rrM} от скорости спада тока di/dt в открытом состоянии

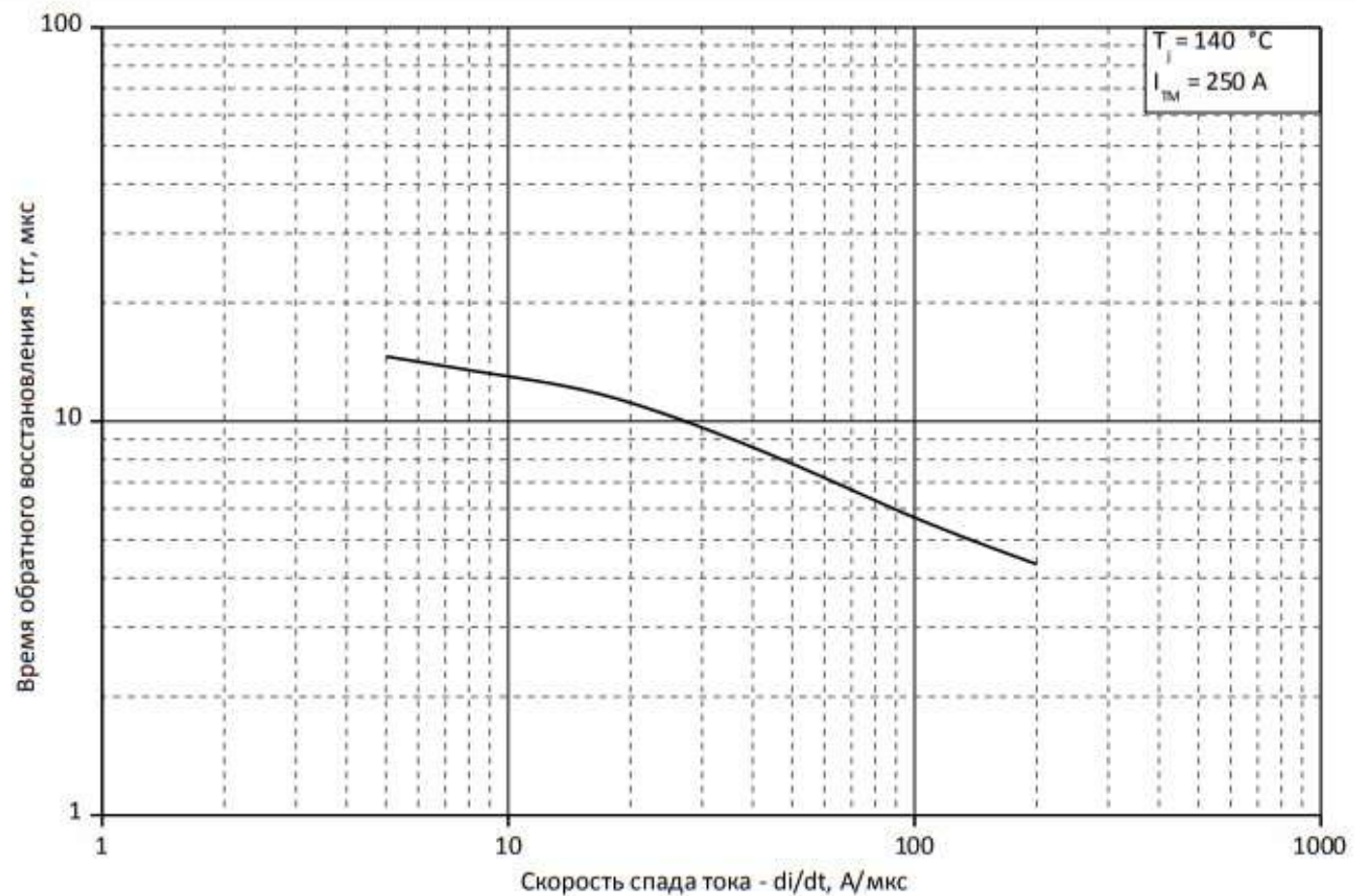


Рис. 6 - Зависимость максимального времени обратного восстановления t_{rr} от скорости спада тока di/dt (по ГОСТ 24461, хорда 25%) в открытом состоянии

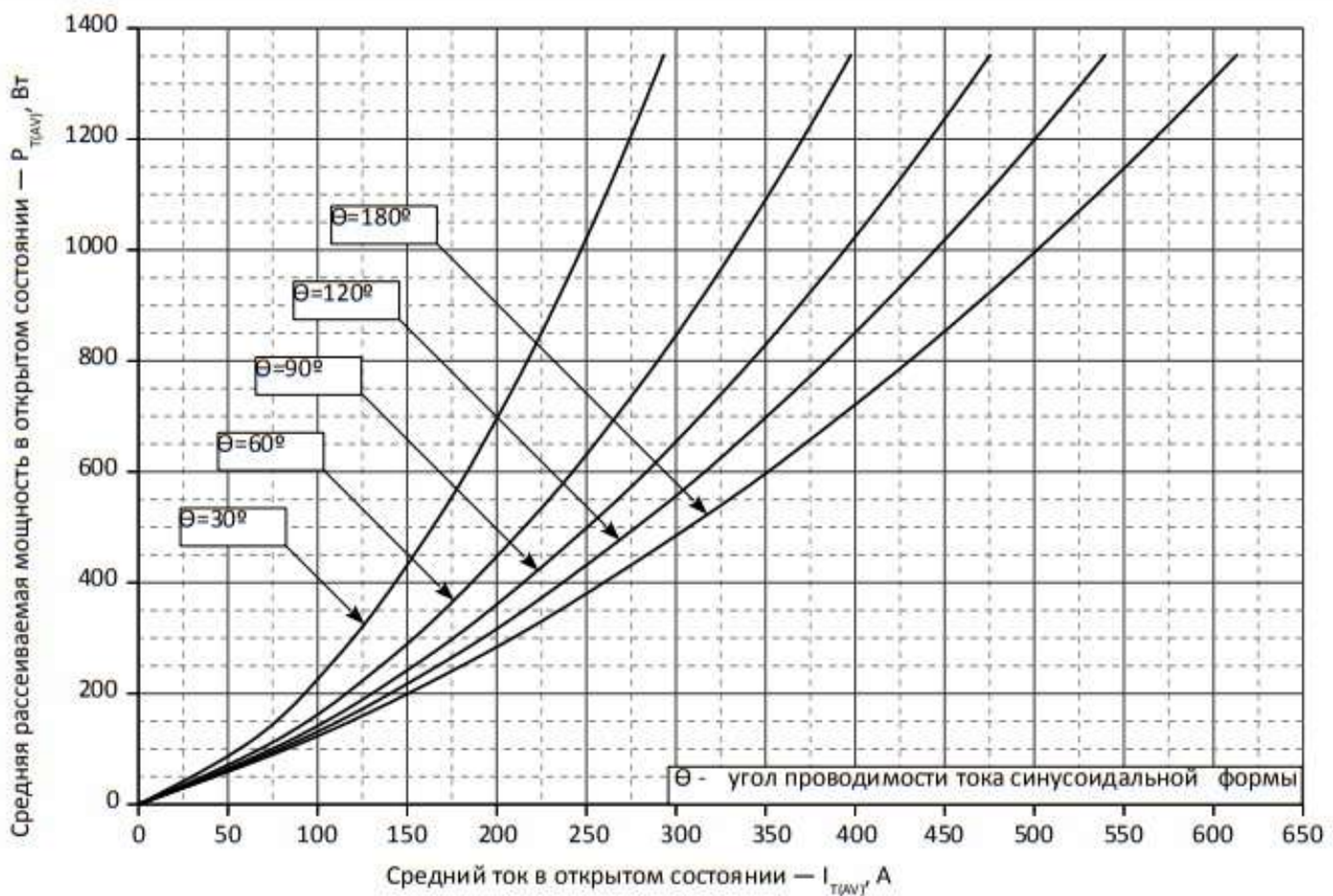


Рис. 7 - Зависимость потерь мощности P_{TAV} от среднего тока в открытом состоянии I_{TAV} синусоидальной формы при различных углах проводимости ($f=50$ Гц, двустороннее охлаждение)

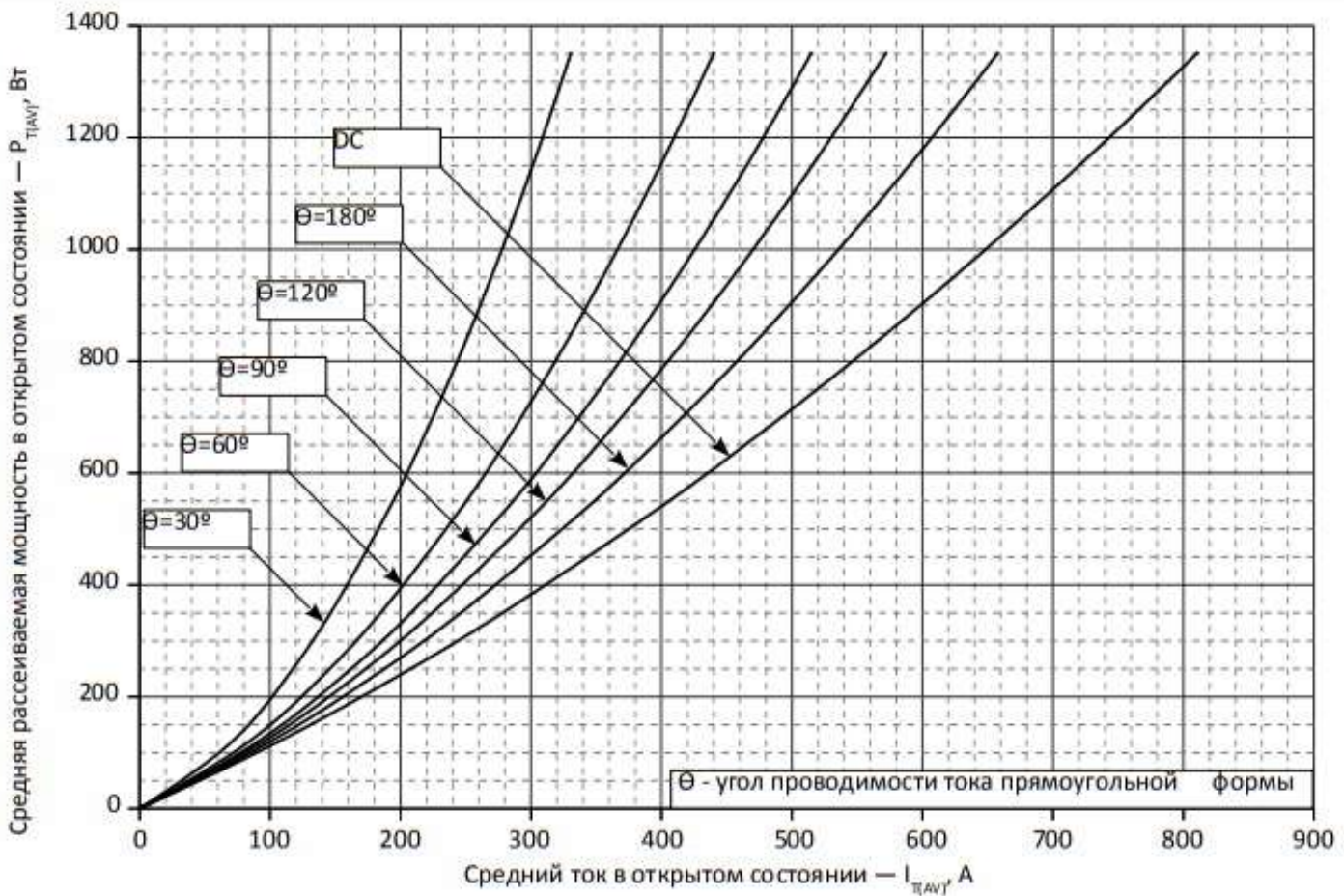


Рис. 8 – Зависимость потерь мощности P_{TAV} от среднего тока в открытом состоянии I_{TAV} прямоугольной формы при различных углах проводимости ($f=50$ Гц, двустороннее охлаждение)

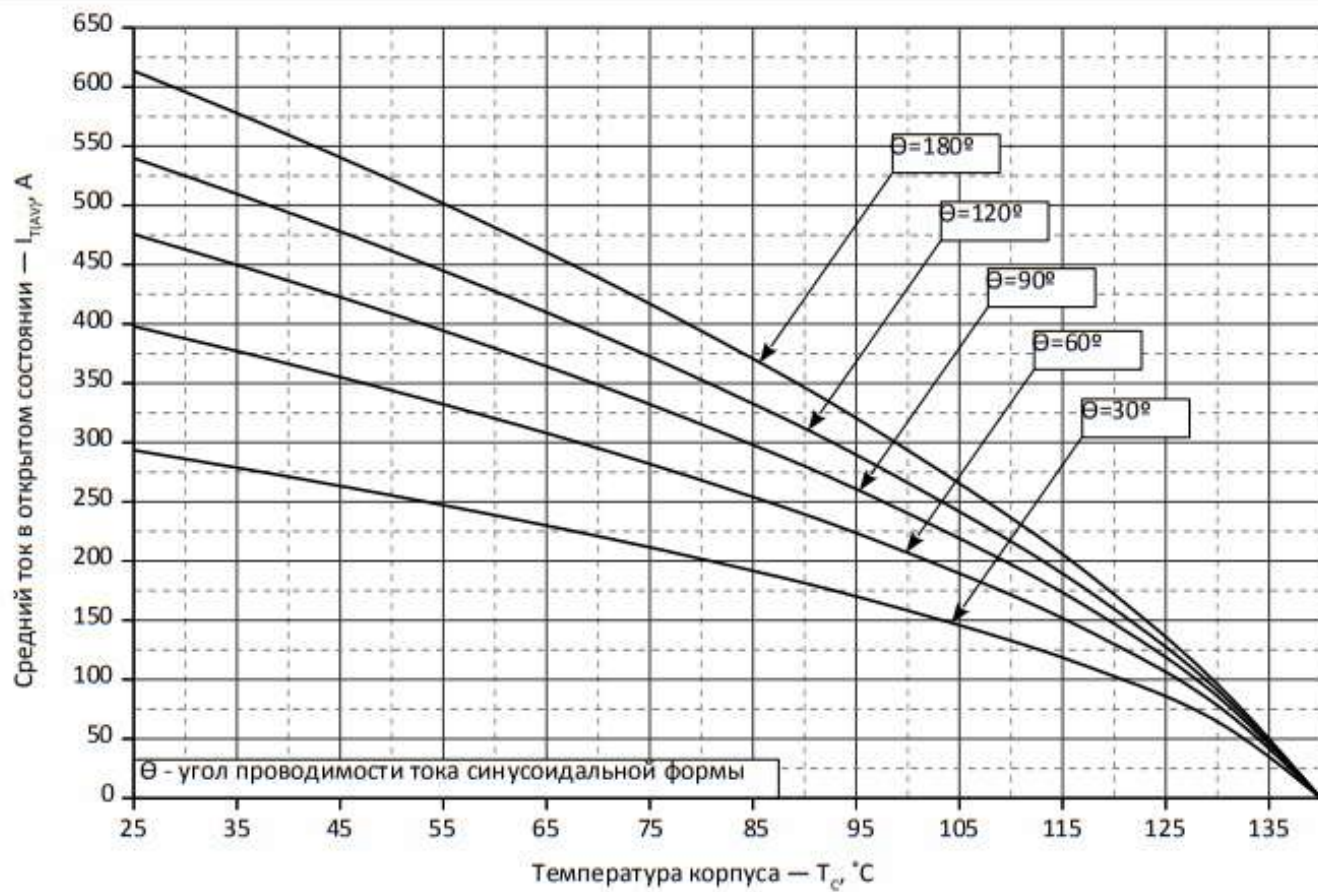


Рис. 9 – Зависимость среднего тока в открытом состоянии I_{TAV} от температуры корпуса T_c для синусоидальной формы тока при различных углах проводимости ($f=50$ Гц, Двустороннее охлаждение)

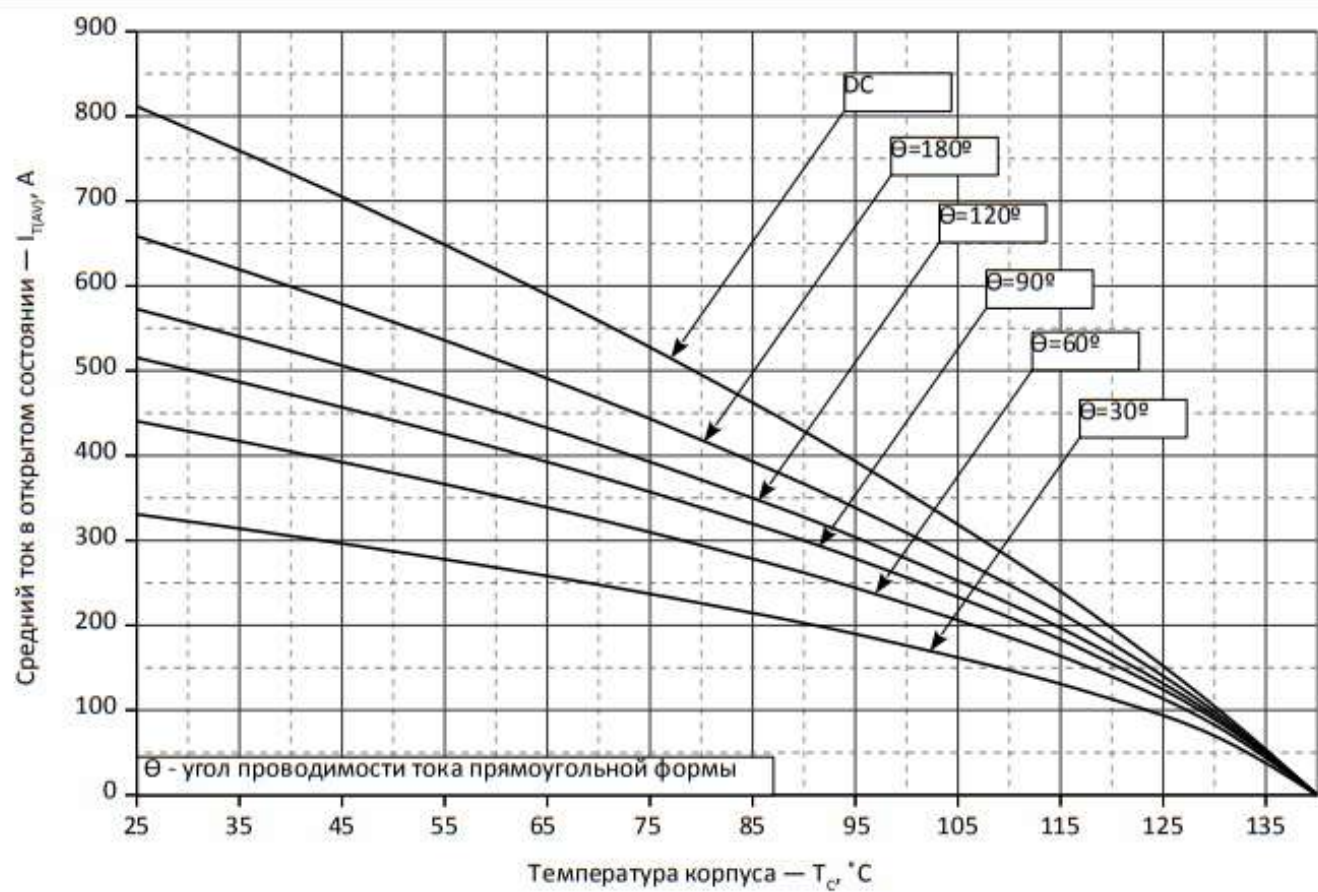


Рис. 10 - Зависимость среднего тока в открытом состоянии I_{TAV} от температуры корпуса T_c для прямоугольной формы тока при различных углах проводимости ($f=50$ Гц, Двустороннее охлаждение)

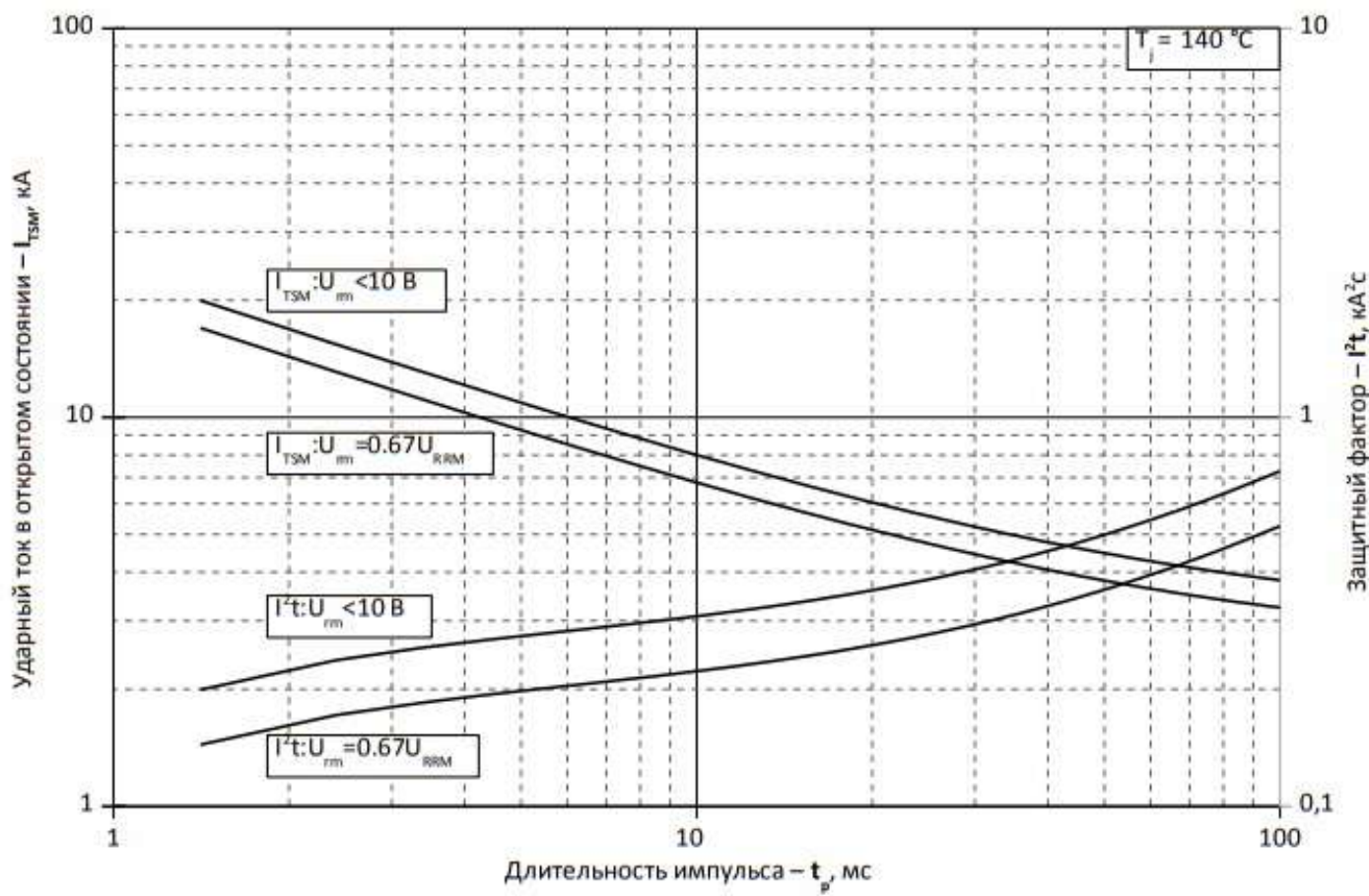


Рис. 11 – Зависимость максимальной амплитуды ударного тока в открытом состоянии I_{TSM}' и защитного фактора I^2t от длительности импульса t_p

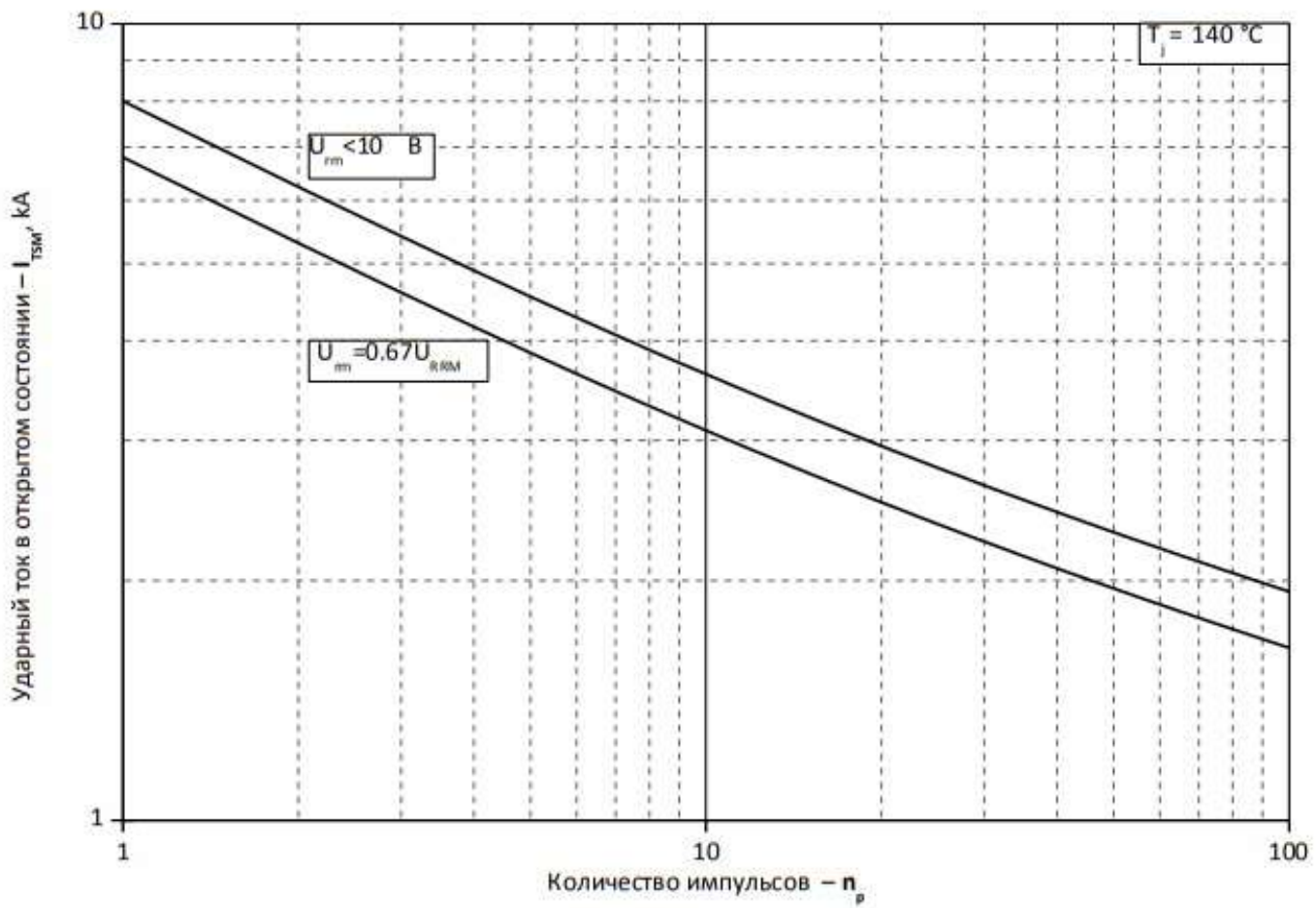


Рис. 12 – Зависимость максимальной амплитуды ударного тока в открытом состоянии I_{TSM}' от количества импульсов n_p